



Zobrazení míchy a páteřního kanálu

- **RTG** kosti (VVV, skolioza, degenerace)
- **PMG** aplikace neionické vodné k.l. lumbární
neindikováno , když možná MRI
- **CT** trauma, strukturální změny obratlů, hernie
disku
- **MRI** diferenciací lezí v páteřním kanálu
(intramedulární x intraduralní,
extramedulární x epidurální)



Spina bifida, spondylolisthesis



otevřený páteřní kanál
chybí proc. spinosus



posun horního
obratle dopředu



CT páteře

- jen krátký úsek páteře (max. 3 intervertebrální prostory)
- špatná přehlednost páteřního kanálu
- Hernie disku
- Degenerativní změny



Leze v páteřním kanálu

- **epidurální**
hernie, hematoma, absces
- **intradurální extramedulární**
neurinom
- **intramedulární**
nádor (astrocytom, ependymom, cystický hemangioblastom),
myelopatie, hydrosyringomyelická cysta

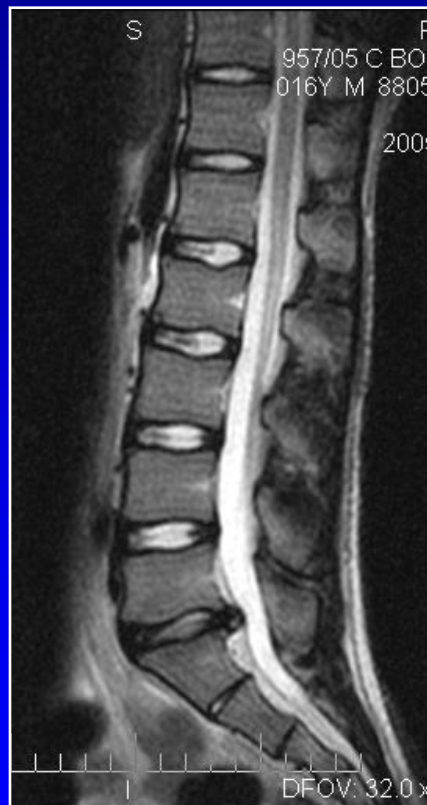


Lepší MRI než CT perimyelografie



Hernie disku

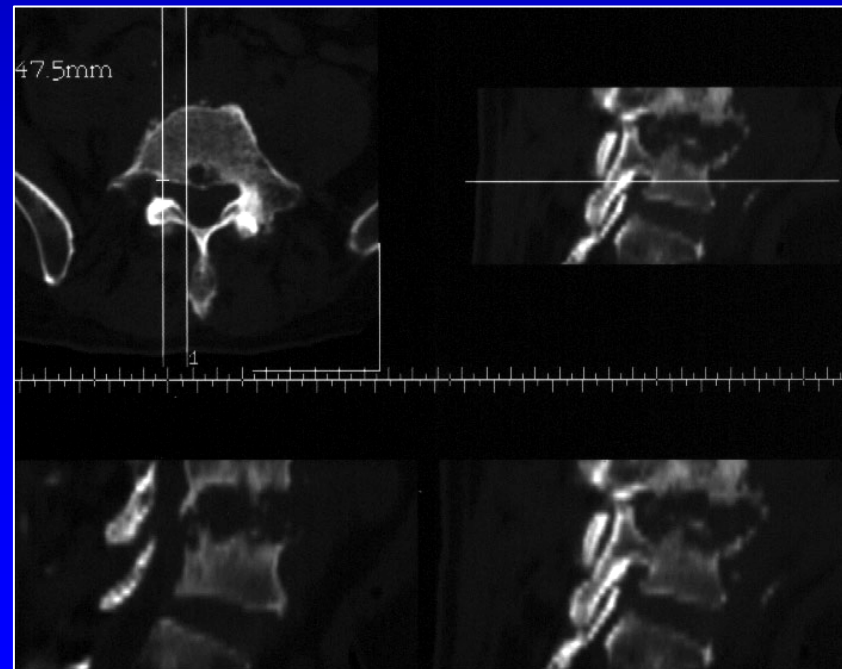
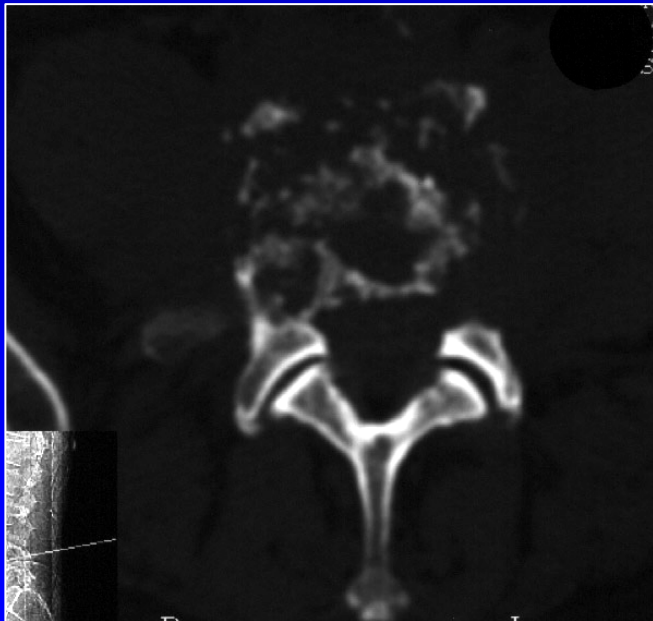
- medialní
- paramediální
- foraminální
- extraforaminální





CT spondylodiscitida

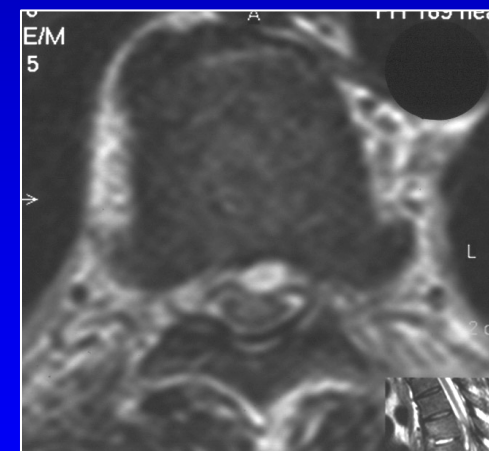
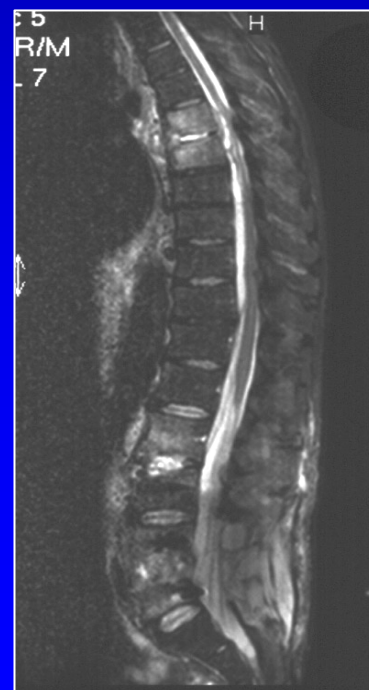
- pyogenní (stafylokok) x TB
- nižší intervertebrální prostor, hypodenzní osteolytická nepravidelná leze





MRI spondylodiscitida

- vyšší T2 signál
- paravertebrální/epidurální absces



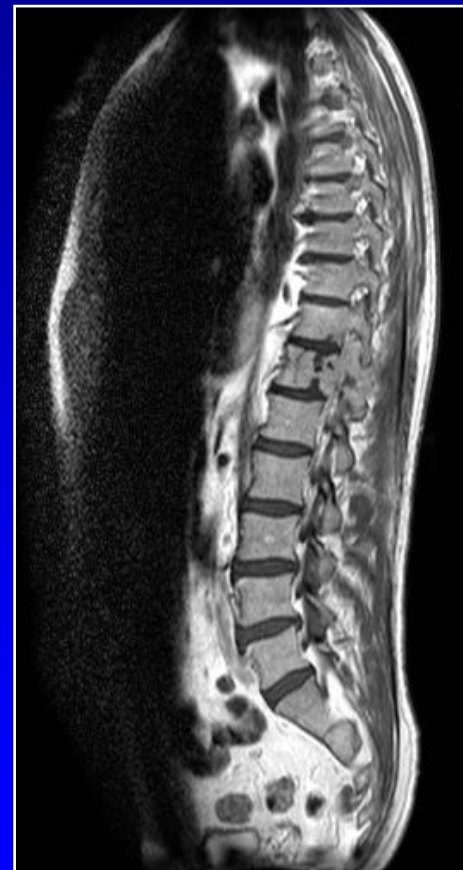


Meta páteř



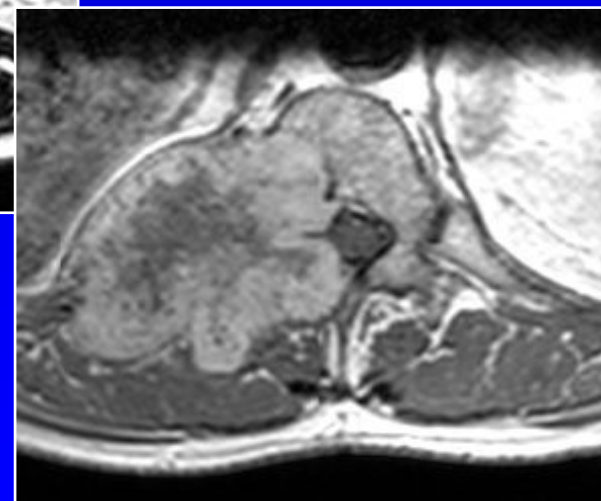
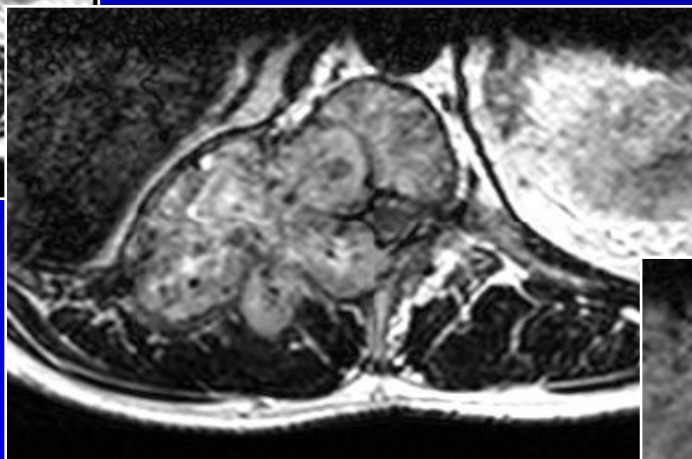
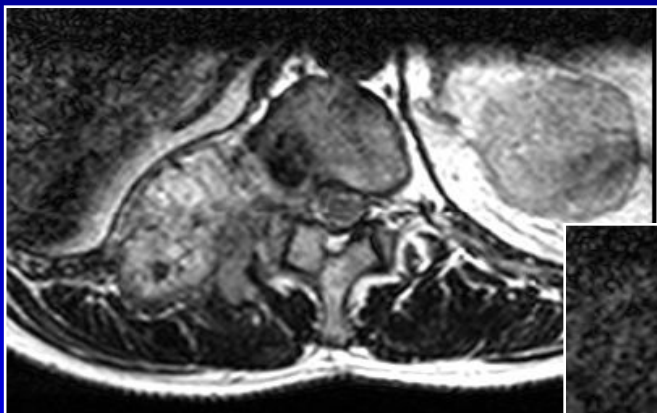


Meta páteř





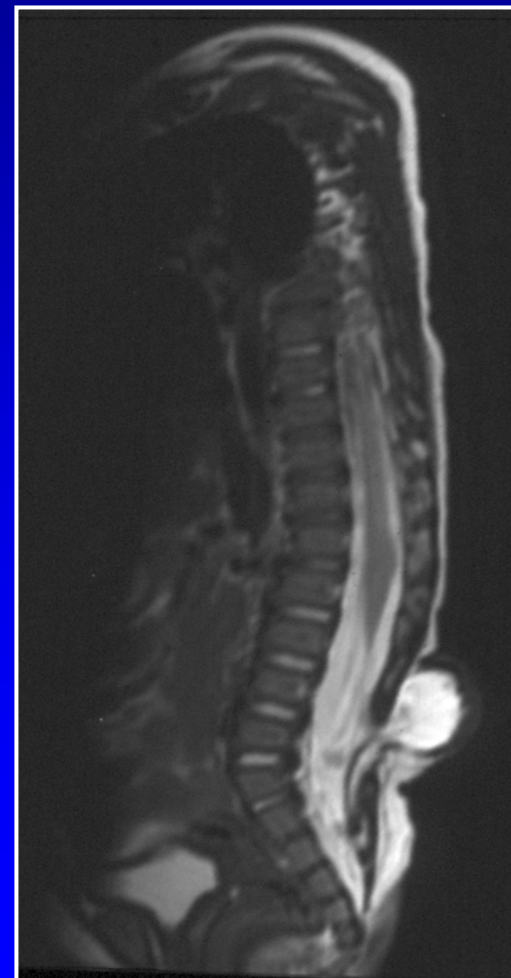
Meta páteř





VVV mícha

- meningokéla
- meningomyelokéla
- otevřený páteřní kanál



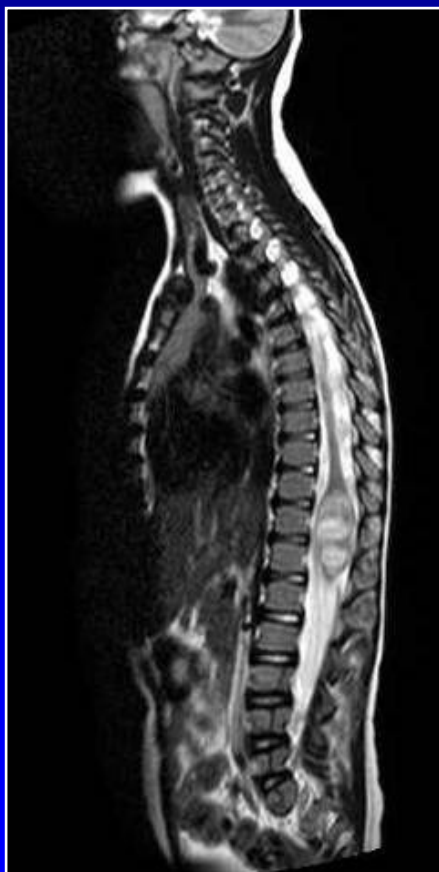


Ependymom míšního konu



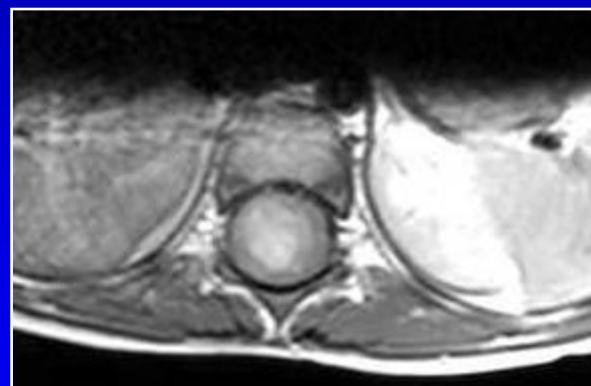
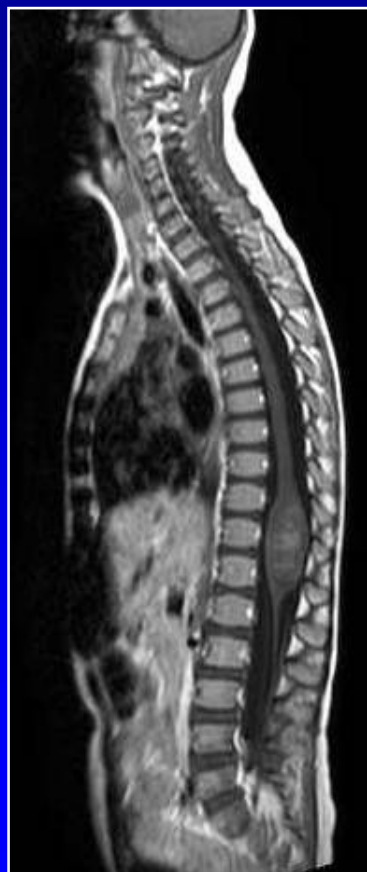


Ependymom míšního konu



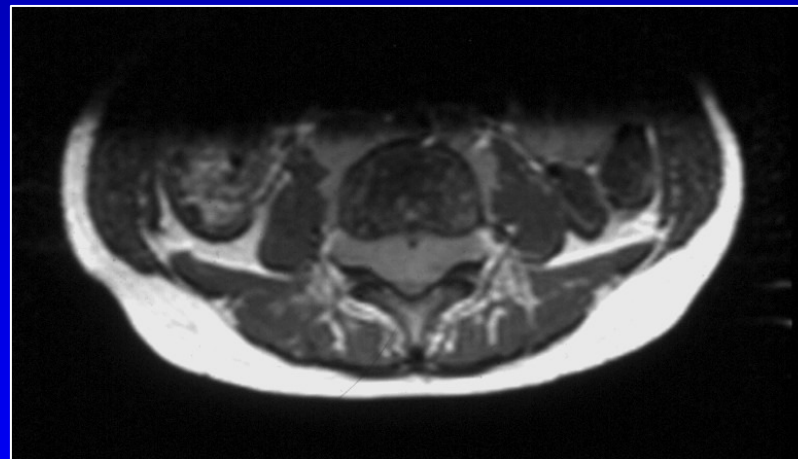
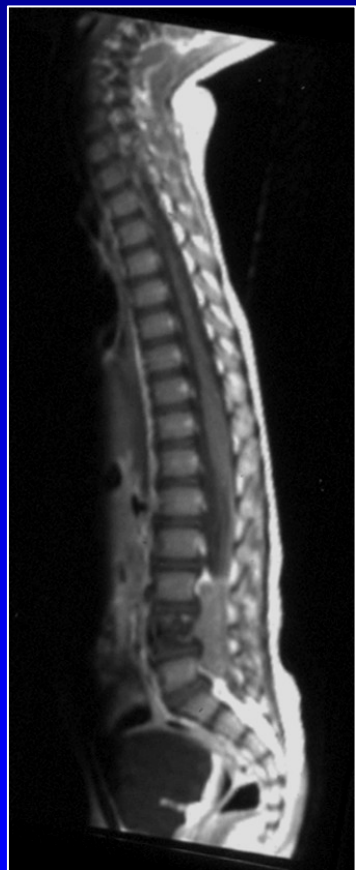


Ependymom míšního konu





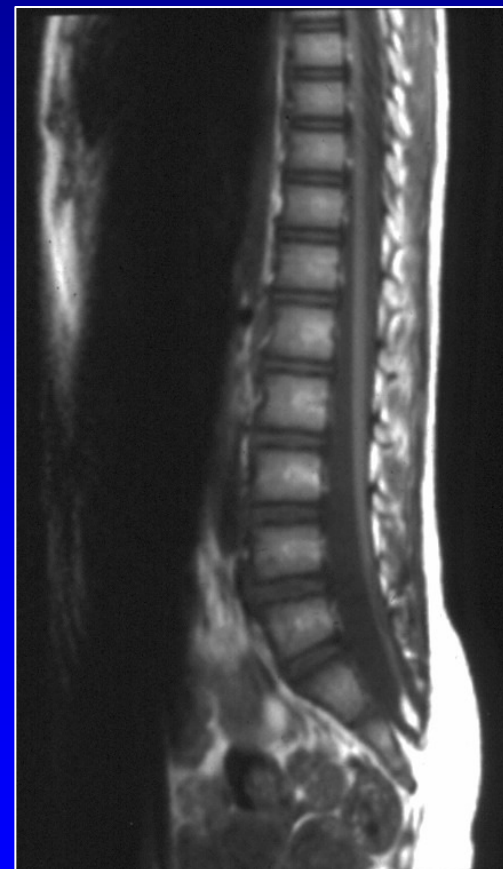
Ewingův sarkom





Fixovaná mícha

- míšní konus v úrovni L1/2
- durální lipom





Leukodystrofie

